

CONTRIBUTION

A L'ÉTUDE

DES CÉPHALOPODES

DE L'ATLANTIQUE NORD

(4^e Série)

LÉGENDE DE LA PLANCHE I

	Page
Fig. 1 et 2. VITRELEDONELLA RICHARDI Joubin.....	15
Fig. 1. Face dorsale. Aquarelle de M ^{lle} Vesque d'après l'échantillon conservé dans l'eau de mer formolée. Grandeur naturelle.	
Fig. 2. Face ventrale.	



M^{lles} Vesque, pinx.

Imp. Champenois Paris.

VITRELEDONELLA RICHARDI (JUBIN)

LÉGENDE DE LA PLANCHE II.

	Page
Fig. 1 et 2. VITRELEDONELLA ALBERTI Joubin.....	38
Fig. 1. Échantillon de grandeur naturelle, après conservation dans l'eau de mer formolée, vu par la face dorsale. Aquarelle de M ^{lle} Vesque.	
Fig. 2. Même échantillon vu par la face ventrale.	



1

2

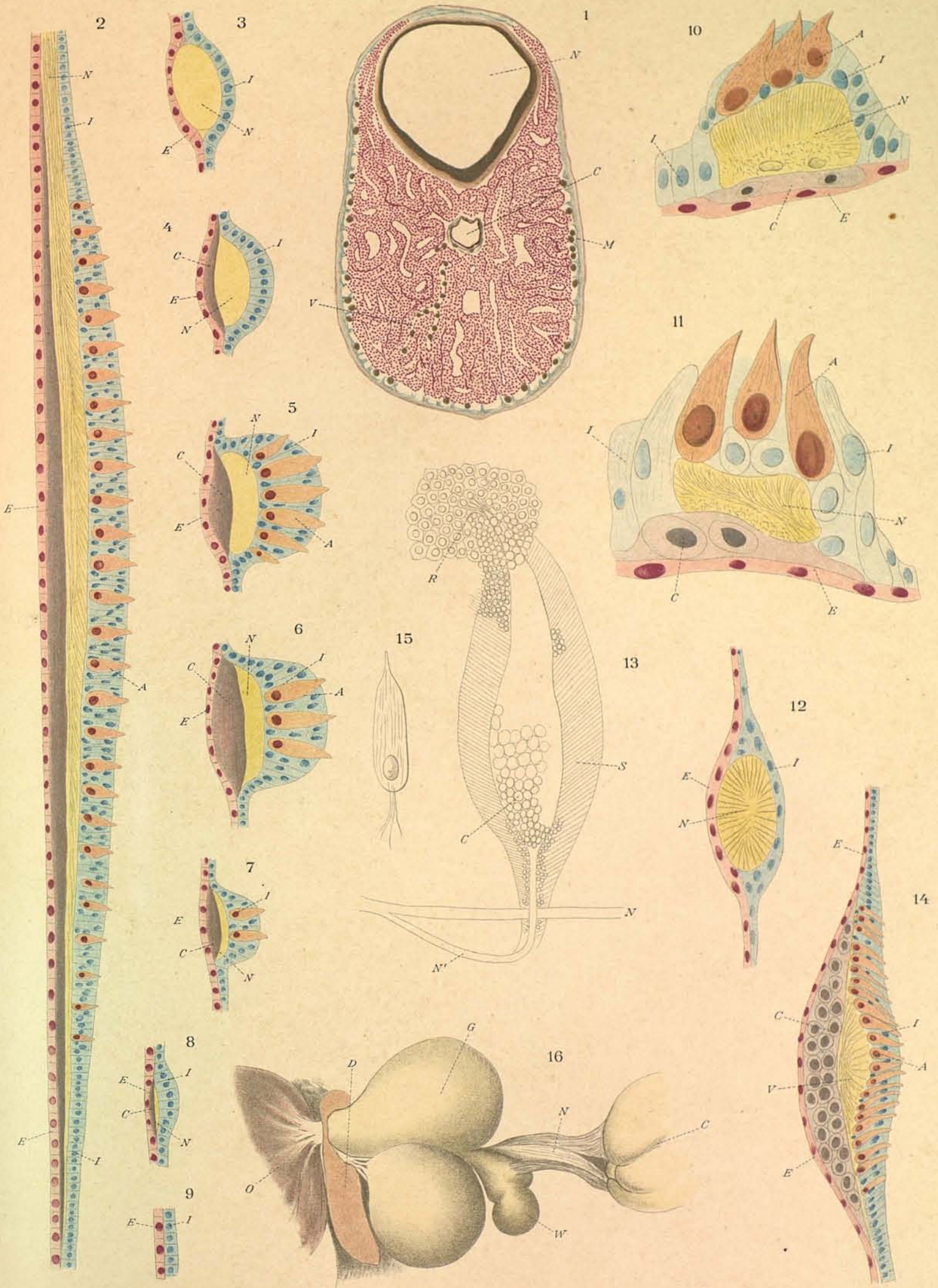
M^{lle} Vesque, pinx.

Imp. Champenois, Paris

VITRELEDONELLA ALBERTI (JUBIN)

LÉGENDE DE LA PLANCHE III

		Pages
Fig. 1.	VITRELEDONELLA RICHARDI JOUBIN.....	15
	Coupe du foie et de la poche du noir. Grossissement 45. <i>C</i> , canal central du foie ; <i>G</i> , lacune périphérique à grosses cellules colorées ; <i>M</i> , membrane d'enveloppe ; <i>N</i> , poche du noir ; <i>V</i> , vaisseau à grosses cellules.	
Fig. 2 à 16.	BOLITÆNA DIAPHANA (HOYLE).....	42
	Lettres communes aux figures 2 à 13 : <i>A</i> , cellules sensorielles ; <i>C</i> , cartilage de soutien ; <i>E</i> , épithélium externe de la vésicule ; <i>I</i> , épithélium interne ; <i>N</i> , faisceau nerveux. Les figures 2 à 9 sont schématiques.	
	Fig. 2. La crête a été supposée redressée : elle est devenue rectiligne au lieu d'être courbée en S. Son épaisseur a été fortement augmentée par rapport à sa longueur. Le nerf entre dans l'organe au haut de la figure et se termine en pointe au bas. (Figure schématique).	
	Fig. 3. Coupe à l'entrée du nerf entre les deux feuillets de la vésicule.	
	Fig. 4. Coupe un peu plus bas ; la lame de cartilage <i>C</i> est présente ; il n'y a pas encore de cellules sensorielles.	
	Fig. 5. Coupe dans la région moyenne présentant 5 rangées de cellules senso- rielles inégales.	
	Fig. 6. Coupe un peu plus bas portant 3 rangées de cellules sensorielles.	
	Fig. 7. Coupe un peu plus bas montrant 2 rangées de cellules sensorielles et la diminution du nerf.	
	Fig. 8. Coupe près de la fin de la crête, le nerf et le cartilage sont très réduits ; il n'y a plus de cellules sensorielles.	
	Fig. 9. Coupe après la disparition des organes nerveux ; il ne reste que les deux épithéliums fondamentaux.	
	Fig. 10. Coupe dans la région moyenne de la crête ; le dessin est réel et non schématisé ; les couleurs sont conventionnelles pour permettre la comparaison avec les figures schématiques. (Même observation pour les figures 11, 12 et 14). On distingue la couche profonde de fibres nerveuses couchées sur le cartilage et se redressant pour pénétrer dans les cellules épithéliales. Gross. 420.	
	Fig. 11. Coupe un peu plus bas montrant la diminution du nerf. Gross. 450.	
	Fig. 12. Coupe dans la région supérieure à l'origine du nerf, montrant la dispo- sition rayonnée des fibres. Gross. 450.	
	Fig. 13. Aspect de la macula foliacée dessinée à la chambre claire. <i>N</i> , nerf de la crête ; <i>N'</i> , nerf spécial de la macula qui en part ; <i>S</i> , bord strié dû probablement à l'inclinaison des cellules marginales ; <i>C</i> , partie centrale à grosses cellules ; <i>R</i> , partie terminale s'épanouissant en plusieurs fibrilles. Gross. 220.	
	Fig. 14. Coupe transversale de la même macula. Gross. 450.	
	Fig. 15. Une des cellules de la crête correspondant à <i>A</i> fig. 11. Gross. 450.	
	Fig. 16. Les ganglions optiques, le nerf optique, le cerveau. Gross. 15 environ. <i>C</i> , cerveau ; <i>N</i> , nerf optique ; <i>G</i> , ganglion optique ; <i>W</i> , ganglion pédonculaire ; <i>D</i> , cartilage cranien ; <i>O</i> , fond de l'œil et épanouis- sment de la rétine.	



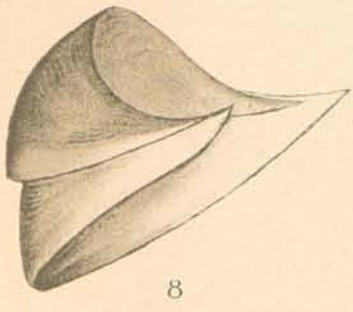
L. Joubin del.

Firenze Lit. A. Ruffoni

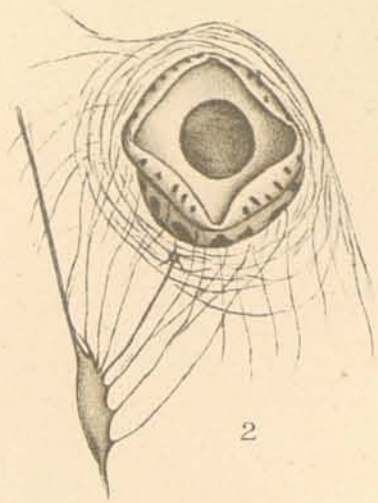
1 VITRELEDONELLA RICHARDI 2-16 BOLITENA DIAPHANA

LÉGENDE DE LA PLANCHE IV

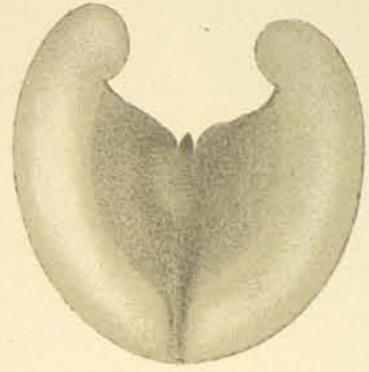
	Page
Fig. 1 à 9. VITRELEDONELLA RICHARDI Joubin.....	15
Fig. 1. La membrane palmaire entre les deux bras ventraux. Grandeur naturelle.	
Fig. 2. Vue d'une des ventouses par son orifice supérieur. A gauche son ganglion nerveux. Gross. 25 diam. environ.	
Fig. 3. Vue de profil d'une ventouse montrant son innervation et sa position dans le mamelon hyalin. Au-dessous de sa pointe on voit le petit ganglion nerveux sur le trajet du nerf qui relie le fond de la ventouse au ganglion du nerf brachial. Gross. 25 diam. environ.	
Fig. 4. Vue dorsale du cerveau, 1, 2, 3, 4, nerfs des bras. <i>B</i> , ganglion buccal ; <i>O</i> , œsophage ; <i>P</i> , nerf palléal ; <i>R</i> , nerf optique ; <i>S</i> , conduit salivaire ; <i>U</i> , commissure allant au ganglion bulbaire ; <i>V</i> , veine ; <i>X</i> , nerf olfactif ; <i>Z</i> , nerf ophthalmique. Gross. 15 diam.	
Fig. 5. Le globe de l'œil vu de face. Gross. 5 diam. environ.	
Fig. 6. Le ganglion optique. <i>C</i> , ganglion prédominant ; <i>M</i> , tache ovale ; <i>P</i> , nerf optique. Gross. 35 diam.	
Fig. 7. Mandibule supérieure vue de trois quarts. Gross. 10 diamètres.	
Fig. 8. Mandibule inférieure vue d'en haut. Gross. 10 diam.	
Fig. 9. Poche ovarienne ouverte montrant la glande saillante à l'intérieur en forme de bosse <i>R</i> ; <i>I</i> , intestin ; <i>J</i> , oviducte. La membrane d'enveloppe à chromatophores linéaires violets a été disséquée et rejetée sur la droite ; dans le fond de la poche on voit les chromatophores par transparence. Gross. 5 diam.	



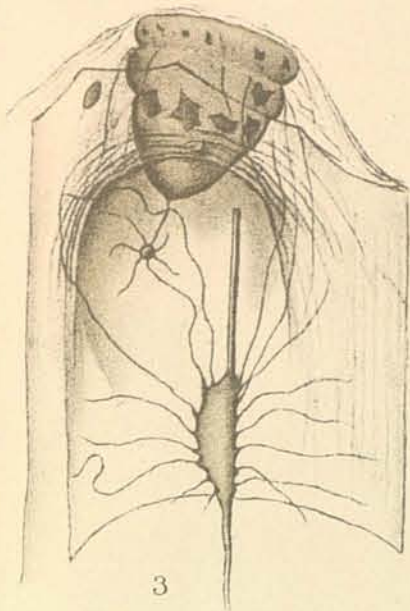
8



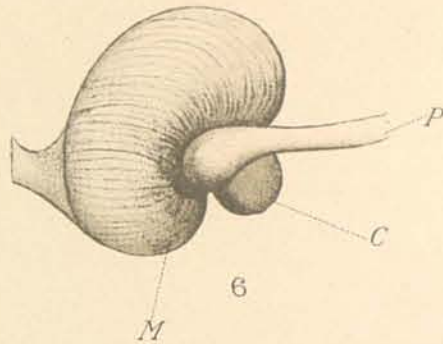
2



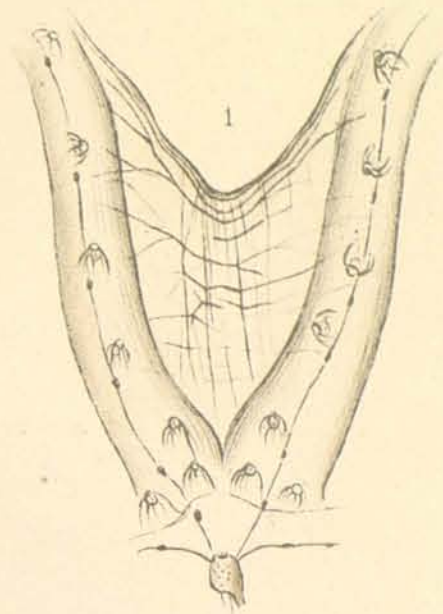
7



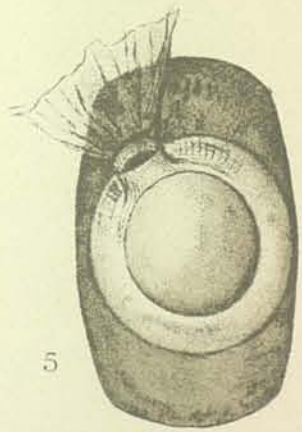
3



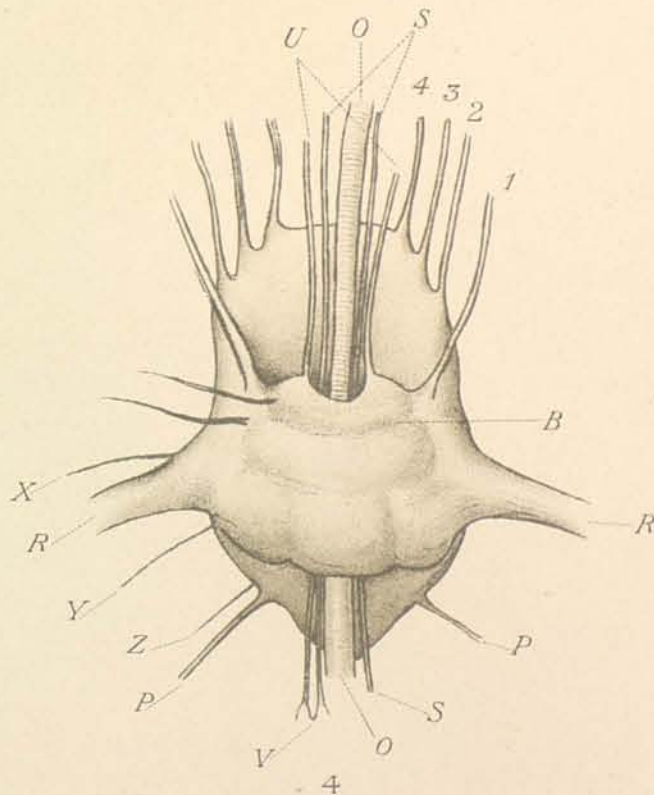
6



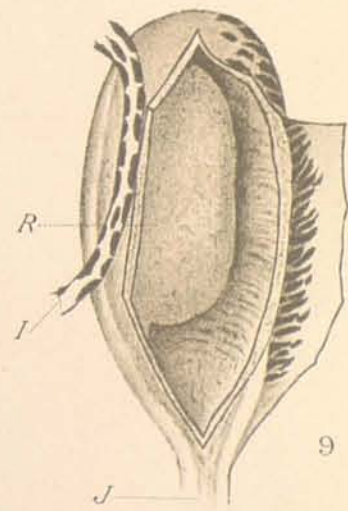
1



5



4



9

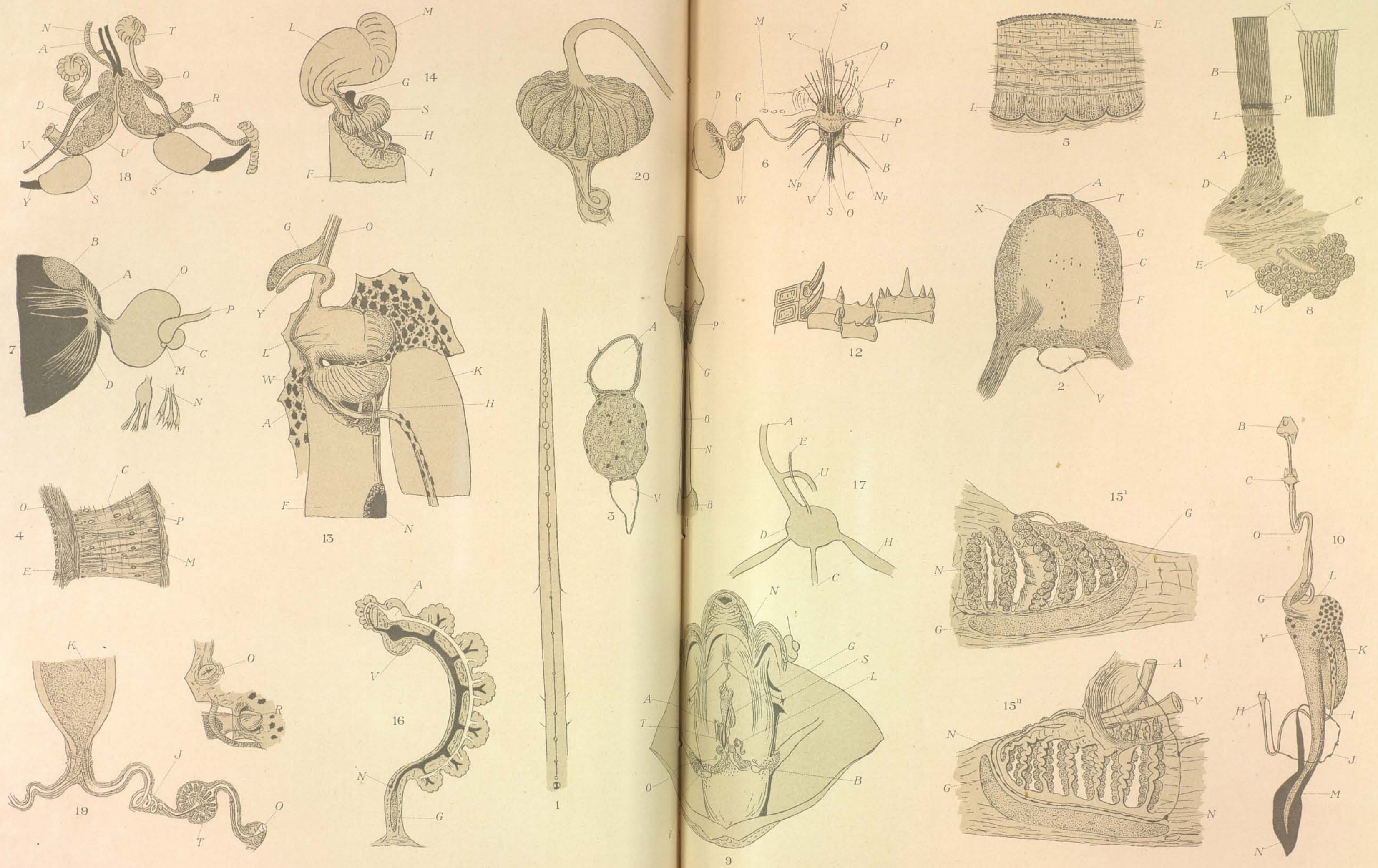
Joubin del. Louis Colas sculp.

F Champenois Paris

VITRELEDONELLA RICHARDI Joubin

LÉGENDE DE LA PLANCHE V

- | | | Page |
|--------------|---|------|
| Fig. 1 à 20. | VITRELEDONELLA RICHARDI JOUBIN | 15 |
| | Fig. 1. Schéma de la disposition des ventouses sur un bras. Réduit d'un tiers. | |
| | Fig. 2. Coupe à travers un ganglion brachial. <i>A</i> , artère ; <i>C</i> , cellules corticales ; <i>E</i> , axe fibreux ; <i>G</i> , grosses cellules supérieures ; <i>T</i> , faisceau myélinique ; <i>V</i> , veine. Gross. 150 diam. | |
| | Fig. 3. Coupe à travers le nerf brachial entre deux ganglions. <i>A</i> , artère ; <i>V</i> , veine. Gross. 150 diam. | |
| | Fig. 4. Coupe dans la partie moyenne mince de la ventouse. <i>C</i> , fibres circulaires ; <i>E</i> , épithélium de revêtement interne ; <i>O</i> , couche de fibres entrelacées ; <i>P</i> , fibres transversales en faisceau ; <i>M</i> , couche musculaire superficielle. Gross. 80 diam. | |
| | Fig. 5. Coupe dans la région de la lèvre de la ventouse. <i>E</i> , épithélium interne ; <i>L</i> , faisceau de fibres musculaires longitudinales. Gross. 80 diam. | |
| | Fig. 6. Disposition générale du système nerveux central. 1, 2, 3, 4, nerfs des bras ; <i>B</i> , ganglion buccal ; <i>C</i> , ganglion cérébroïde ; <i>D</i> , corps blanc sur le globe oculaire ; <i>F</i> , fibres constituant une capsule rudimentaire dans laquelle le système nerveux central est suspendu ; <i>G</i> , ganglion optique ; <i>M</i> , corps blanc ; <i>N</i> , nerf palléal ; <i>O</i> , œsophage ; <i>P</i> , ganglion pédieux ; <i>S</i> , canal salivaire ; <i>U</i> , ganglion viscéral ; <i>V</i> , veine ; <i>W</i> , ganglion pédonculaire. Gross. 4 diam. environ. | |
| | Fig. 7. Disposition de l'épanouissement du nerf optique sur le globe de l'œil. <i>A</i> , branche inférieure du nerf optique ; <i>B</i> , corps blanc ; <i>C</i> , ganglion pédonculaire ; <i>D</i> , branche supérieure du nerf optique ; <i>P</i> , nerf optique ; <i>N</i> , détails des terminaisons renflées du nerf optique. Gross. 30 diam. | |
| | Fig. 8. Coupe de la rétine. La partie droite X de la figure montre les bâtonnets renflés en massue dans les régions plissées. <i>A</i> , région des noyaux ; <i>B</i> , bâtonnets ; <i>C</i> , couche capsulaire fibreuse ; <i>D</i> , épanouissement du nerf optique ; <i>E</i> , enveloppe conjonctive ; <i>L</i> , limitante externe ; <i>M</i> , coupe du corps blanc ; <i>P</i> , couche du pigment rétinien ; <i>S</i> , limitante interne ; <i>X</i> , bâtonnets en massue. Gross. 360 diam. | |
| | Fig. 9. Disposition générale des organes palléaux. <i>A</i> , anus ; <i>B</i> , branchie ; <i>E</i> , estomac ; <i>G</i> , glande génitale ; <i>L</i> , glande oviducal ; <i>N</i> , cerveau ; <i>O</i> , orifice génital ; <i>R</i> , orifice urinaire ; <i>S</i> , ganglion palléal sur la bride palléale ; <i>I</i> , poche du noir. A peu près de grandeur naturelle. | |
| | Fig. 10. Ensemble du tube digestif. <i>B</i> , bulbe buccal ; <i>C</i> , cerveau ; <i>F</i> , foie ; <i>G</i> , <i>H</i> , ampoule anale avec l'orifice du conduit du noir ; <i>I</i> , intestin ; <i>J</i> , conduit en chapelet de l'encre ; <i>K</i> , glande génitale ; <i>L</i> , jabot ; <i>M</i> , glande du noir ; <i>N</i> , réservoir de l'encre ; <i>O</i> , œsophage. Gross. 5 diam. environ. | |
| | Fig. 11. Le bulbe buccal vu de profil. <i>B</i> , ganglion buccal ; <i>G</i> , ganglion bulbaire ; <i>O</i> , œsophage ; <i>N</i> , commissure cérébro-bulbaire ; <i>P</i> , appendice du bulbe. Gross. 10 diam. environ. | |
| | Fig. 12. Moitié d'une rangée de dents de la radula. Gross. 20 diam. | |
| | Fig. 13. Partie centrale de l'appareil digestif. La membrane à chromatophores et iridocystes dorés a été rejetée de côté. <i>A</i> , ganglion stomacal ; <i>F</i> , foie ; <i>G</i> , glande salivaire ; <i>H</i> , conduit hépatique ; <i>I</i> , intestin ; <i>K</i> , glande génitale ; <i>L</i> , estomac ; <i>N</i> , sommet de la glande du noir ; <i>W</i> , estomac spiral ; <i>Y</i> , jabot. Gross. 15 diam. environ. | |

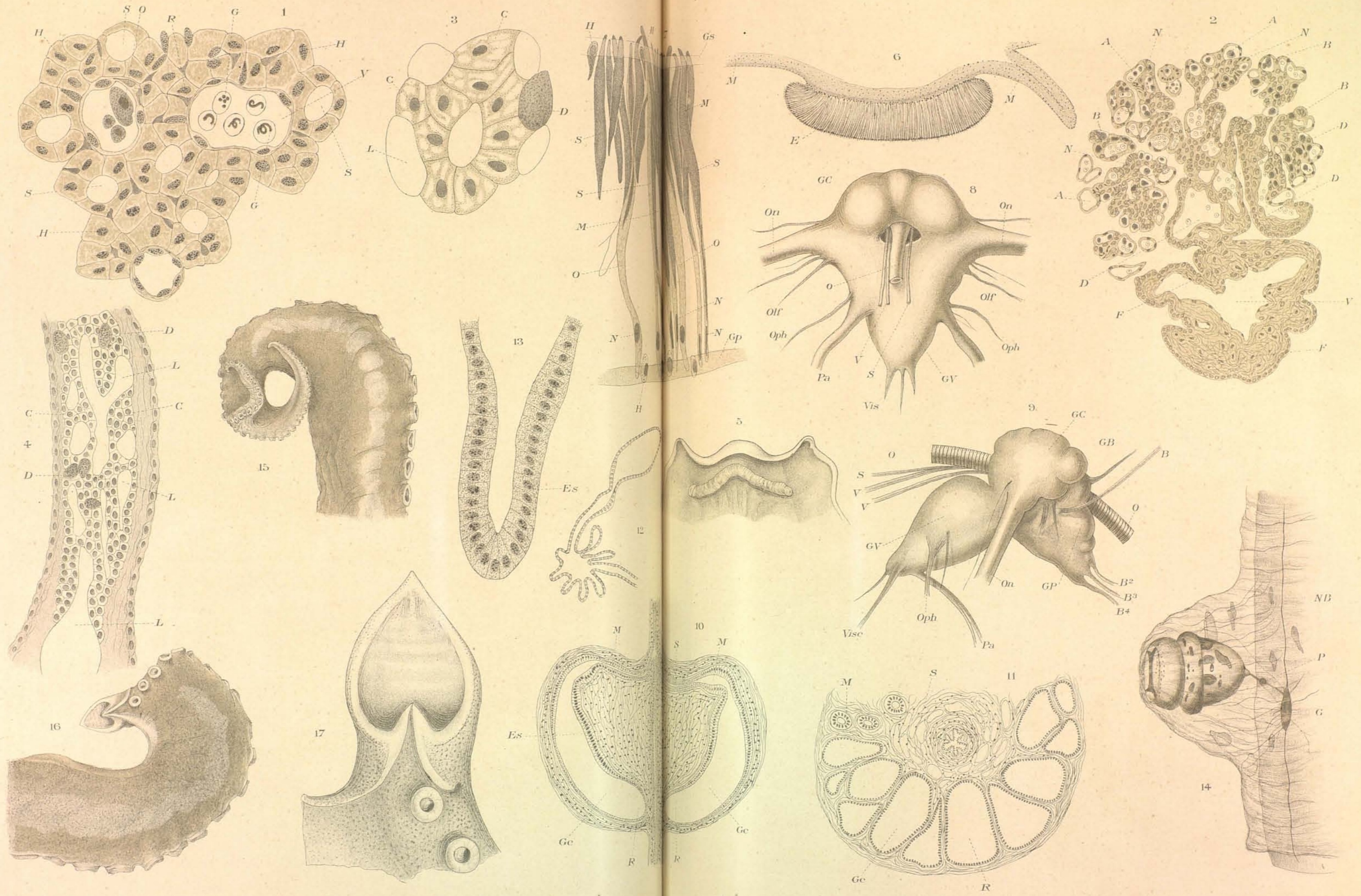


LÉGENDE DE LA PLANCHE V (Suite)

- Fig. 14. Détail de l'estomac spiral et des organes voisins. *F*, foie ; *G*, ganglion stomacal ; *H*, conduit hépatique renflé en massue ; *I*, intestin ; *M*, portion terminale de l'estomac ; *L*, estomac ; *S*, estomac spiral. Gross. 15 diam. environ.
- Fig. 15. La branchie gauche grossie 5 fois environ. La figure supérieure I en montre la face inférieure convexe ; la figure II la face supérieure concave ; *A*, artère efférente ; *G*, glande branchiale ; *N*, ganglion et nerf branchiaux ; *V*, veine afférente. Gross. 5 diam. environ.
- Fig. 16. Schéma montrant la disposition des vaisseaux, nerfs, glandes et tissu respiratoire. *A*, artère afférente ; *N*, nerf ; *G*, glande branchiale ; *V*, veine afférente.
- Fig. 17. Cœur vu par la face ventrale. *A*, aorte ; *C*, artère génitale ; *E*, artère hépatique (?) ; *V*, artère rénale ; *D*, ventricule ; *H*, oreillette. Gross. 5 diam. environ.
- Fig. 18. Disposition de l'appareil urinaire. *A*, aorte ; *D*, rein ; *N*, veine ; *O*, orifice génital ; *R*, orifice rénal ; *S*, cœur veineux ; *T*, glande oviducale ; *U*, sac urinaire ; *V*, artère afférente de la branchie ; *Y*, veine afférente de la branchie sortant du cœur veineux. Gross. 3 diam. environ.
- Fig. 19. Appareil génito-urinaire. A gauche, fig. I, extrémité inférieure et conduits génitaux ; *K*, partie inférieure de la poche ovarienne ; *J*, oviducte en spirale ; *O*, orifice génital ; *I*, glande de l'oviducte. — A droite, en haut, fig. II, détails de la région des orifices de l'oviducte *O*, du rein *R*. Gross. 5 diam.
- Fig. 20. Glande de l'oviducte. Détail des glandules qui la composent. Gross. 12 diam. environ.
-

LÉGENDE DE LA PLANCHE VI

		Pages
Fig. 1 à 14.	VITRELEDONELLA RICHARDI Joubin.....	15
	Fig. 1. Coupe du foie. <i>G</i> , Globules à noyaux contournés; <i>H</i> , cellules hépatiques; <i>O</i> , grandes cellules colorées; <i>R</i> , cellules conjonctives; <i>S</i> , canalicule hépatique; <i>V</i> , vaisseau sanguin. Gross. 400.	
	Fig. 2. Coupe transversale d'un arc branchial. <i>A</i> , artériole efférente; <i>B</i> , cellules brunes; <i>D</i> , veinules de distribution; <i>F</i> , tissu fibro-cartilagineux; <i>N</i> , cellules nerveuses; <i>V</i> , veine afférente du pilier. Gross. 30.	
	Fig. 3. Coupe d'un fragment de la glande de la branchie. <i>C</i> , cellule glandulaire; <i>D</i> , cellule d'aspect lymphoïde; <i>L</i> , lacune sanguine. Gross. 350.	
	Fig. 4. Coupe d'ensemble de la région moyenne de la glande de la branchie. <i>C</i> , cellules glandulaires; <i>D</i> , cellules lymphoïdes; <i>L</i> , lacunes. Gross. 106.	
	Fig. 5. Organe du siphon. Le siphon a été fendu et ses bords écartés pour montrer la glande en bourrelet transversal. <i>G</i> , glande; <i>S</i> , siphon. Gross. 2.	
	Fig. 6. Coupe transversale montrant l'ensemble de la structure de la glande du siphon. <i>E</i> , épithélium glandulaire; <i>M</i> , paroi du siphon. Gross. 118.	
	Fig. 7. Coupe transversale très grossie de l'organe du siphon. <i>Gs</i> , lame limitante gélatineuse superficielle; <i>Gp</i> , lame conjonctive gélatineuse profonde; <i>H</i> , cellules courtes dans les deux membranes; <i>M</i> , longues cellules propres de l'organe; <i>N</i> , leurs noyaux longs dans leur partie inférieure; <i>O</i> , mucus contenu dans certaines cellules; <i>S</i> , fuseaux colorés contenus dans les cellules. Gross. 1126.	
	Fig. 8. Vue du cerveau par la face inférieure. <i>GC</i> , ganglion cérébroïde; <i>GV</i> , ganglion viscéral; <i>O</i> , œsophage; <i>Op</i> , nerf optique; <i>Olf</i> , nerf olfactif; <i>Oph</i> , nerf ophthalmique; <i>Pa</i> , nerf palléal; <i>Vis</i> , nerf viscéral; <i>S</i> , canal salivaire; <i>V</i> , veines. Gross. 17.	
	Fig. 9. Vue de profil du cerveau. Mêmes lettres que pour la figure 8. En plus <i>B1</i> , <i>B2</i> , <i>B3</i> , <i>B4</i> , nerfs des bras; <i>GB</i> , ganglion buccal; <i>GC</i> , ganglion cérébroïde; <i>GV</i> , Ganglion viscéral.	
	Fig. 10. Coupe verticale, légèrement simplifiée, de la glande de l'oviducte. <i>GC</i> , glandules constituantes; <i>Es</i> , épithélium sécrétant; <i>M</i> , canal excréteur; <i>R</i> , réservoir glandulaire; <i>S</i> , tissu conjonctif lacunaire. Gross. 30.	
	Fig. 11. Coupe transversale oblique de la glande de l'oviducte. Mêmes lettres que dans la figure 10. Gross. 30.	
	Fig. 12. Coupe montrant le point où les canalicules des glandes élémentaires se réunissent pour former le canal excréteur de la glande de l'oviducte qui n'est autre que l'oviducte lui-même. Gross. 40.	
	Fig. 13. Détail des cellules de l'épithélium du conduit excréteur, pris dans une des glandes de l'oviducte. Gross. 130.	
	Fig. 14. Vue de l'une des ventouses brachiales de profil. <i>NB</i> , nerf brachial; <i>P</i> , petit ganglion du fond de la ventouse. Gross. 25 environ.	
— 15 à 17.	GRANELEDONE VERRUCOSA (Verrill).....	10
	Fig. 15. Le bras bifide, à peu près de grandeur naturelle.	
	Fig. 16. Le bras hectocotylisé, à peu près de grandeur naturelle.	
	Fig. 17. L'hectocotyle, grossi environ 4 fois.	



Joubin del. Cassas sculp

F Champenois Paris

GRANELEDONE VERRUCOSA Verrill VITRELEDONELLA RICHARDI Joubin

LÉGENDE DE LA PLANCHE VII

		Pages
Fig. 1 et 2.	BOLITÆNA DIAPHANA (Hoyle)	42
	Fig. 1. La région des statocystes vue par la face ventrale. Gross. 15. <i>P</i> , ganglion pédieux ; <i>O</i> , statocyste ouvert ; <i>O'</i> statocyste intact ; <i>C</i> , crête auditrice ; <i>S</i> , tache ronde ; <i>T</i> , tache en forme de feuille ; <i>V</i> , ganglion viscéral.	
	Fig. 2. Face dorsale du cerveau. <i>A. B. C. D.</i> , quatre bourrelets d'où émergent les faisceaux composant le nerf optique. <i>Ao</i> , aorte ; <i>Gp</i> , ganglion pédonculaire ; <i>M. N. R. S.</i> , bourrelets du groupe central ; <i>O</i> , nerf optique ; <i>Pa</i> , nerf palléal ; <i>U. V.</i> , bourrelets du groupe antérieur ; <i>Æ</i> , œsophage ; <i>O. I.</i> , nerf olfactif ; <i>T</i> , veines ; <i>X</i> , ganglion optique ; <i>Z</i> , ganglion viscéral. Gross. 19.	
— 3 à 4.	CYCLOTEUTHIS SIRVENTI Joubin	53
	Fig. 3. L'animal vu de dos. Gross. 1, 4.	
	Fig. 4. L'animal vu par la face ventrale ; le manteau a été fendu pour montrer la position de l'organe photogène. Gross. 1, 4.	
	Fig. 5. L'appareil photogène. Gross. 4, 5.	
	Fig. 6. Palette tentaculaire. Gross. 8.	
— 6.	MEGALOCRANCHIA HYPERBOREA	94
	Fig. 7. Détails de l'appareil siphonal. Gross. 12.	



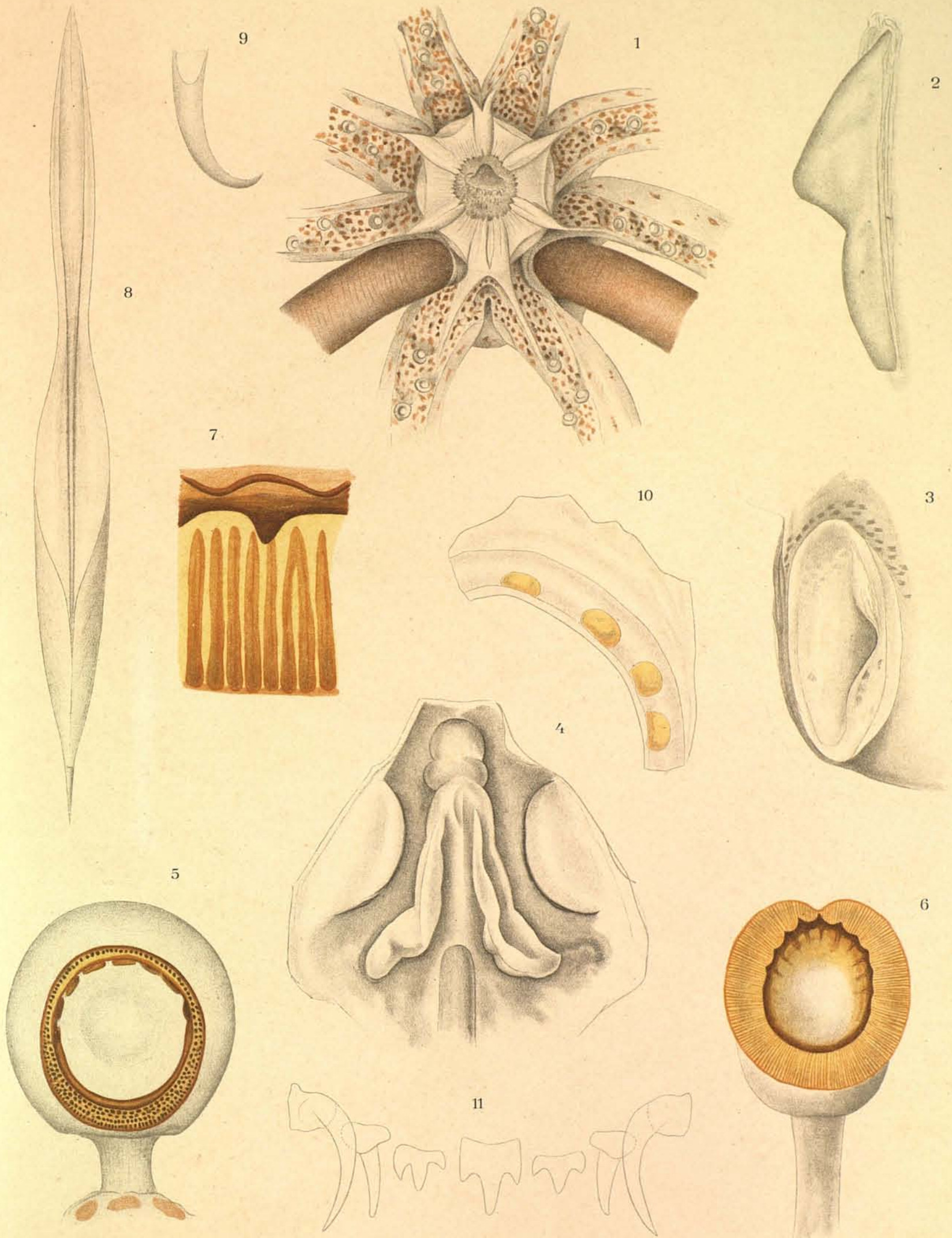
L. Joubin et N. Boudarel del.

Firenze. Lit. A. Fuffoni.

1-2 BOLITENA DIAPHANA 3-6 CYCLOTEUTHIS SIRVENTI 7 MEGALOCRANCHIA HYPERBOREA

LÉGENDE DE LA PLANCHE VIII

	Page
Fig. 1 à 11. CYCLOTEUTHIS SIRVENTI Joubin.....	53
Fig. 1. Vue de la bouche et des membranes bulbo-brachiales. Gross. 8.	
Fig. 2. Bouton cartilagineux palléal vu de profil. Gross. 11.	
Fig. 3. Boutonnière cartilagineuse palléale correspondant au bouton de la Fig. 2. Gross. 8.	
Fig. 4. L'organe du siphon vu de face. Gross. 5.	
Fig. 5. Ventouse brachiale vue de face. Gross. 60.	
Fig. 6. Ventouse tentaculaire vue de face. Gross. 50.	
Fig. 7. Détails du cercle corné de la ventouse tentaculaire. Gross. 300.	
Fig. 8. La plume vue par la face ventrale. Gross. 3.3.	
Fig. 9. Détail de la pointe postérieure.	
Fig. 10. Quelques organes lumineux du bord de la paupière. Gross. 20.	
Fig. 11. La radula. Gross. 60.	



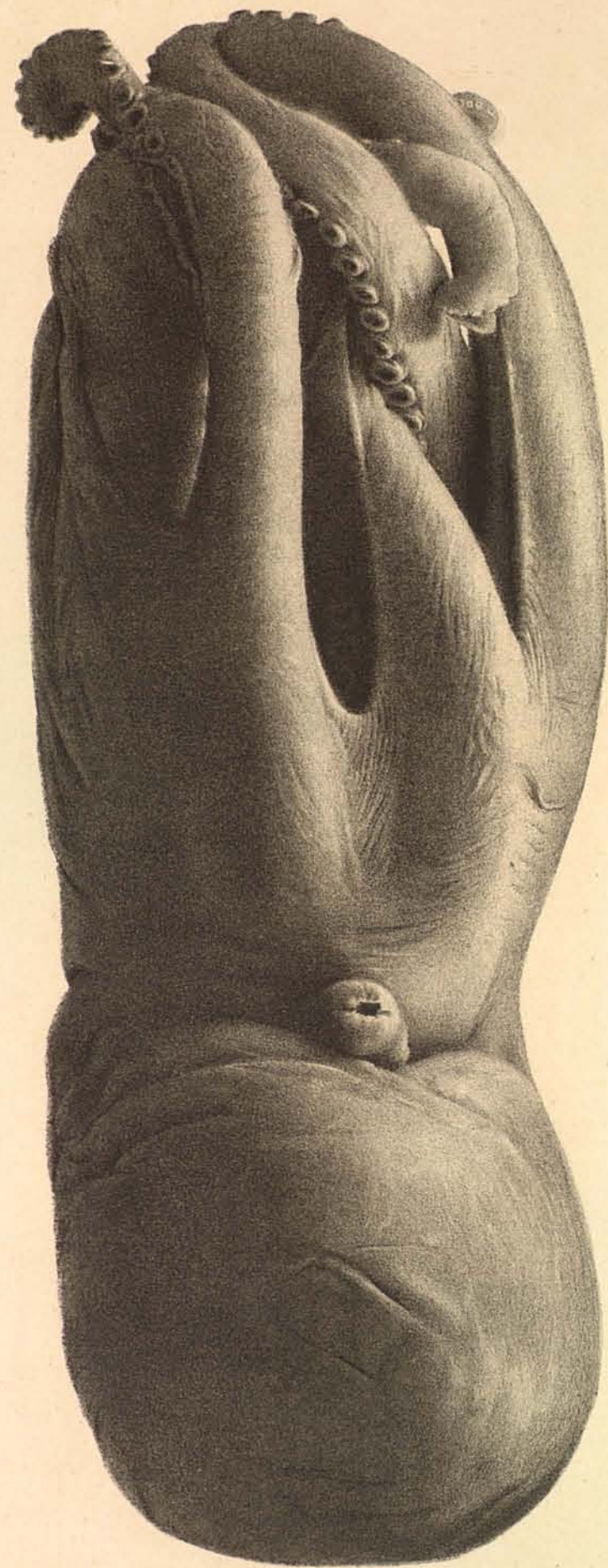
L. Joubin del.

CYCLOTEUTHIS SIRVENTI JOUBIN

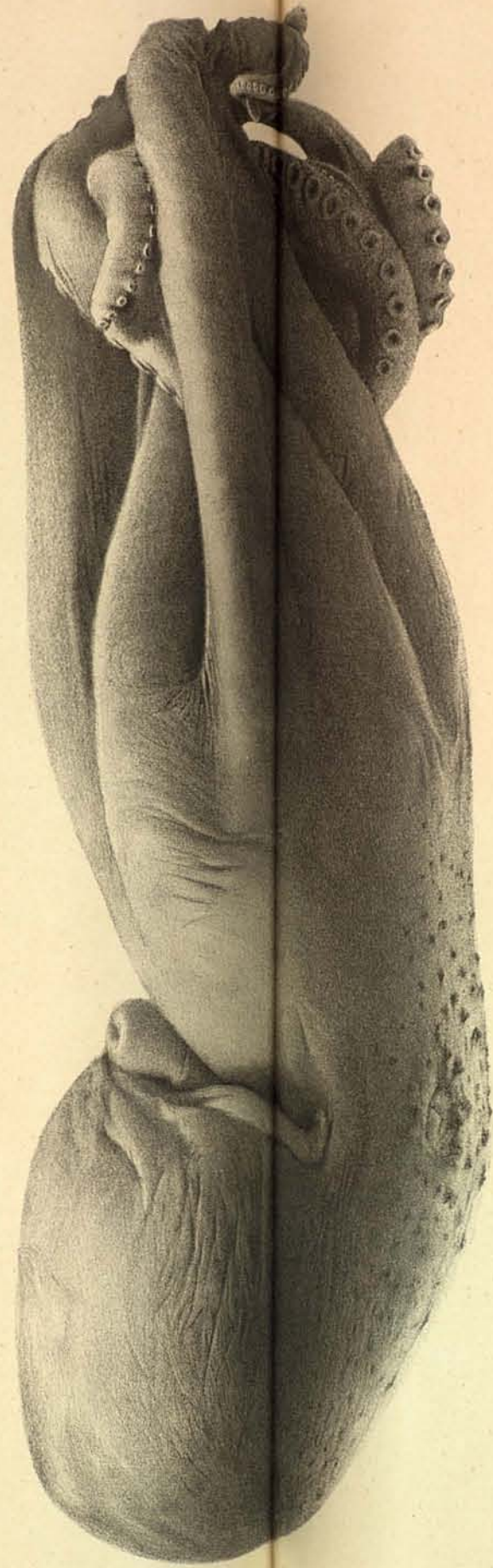
Firenze, Lit. A. Ruffoni

LÉGENDE DE LA PLANCHE IX

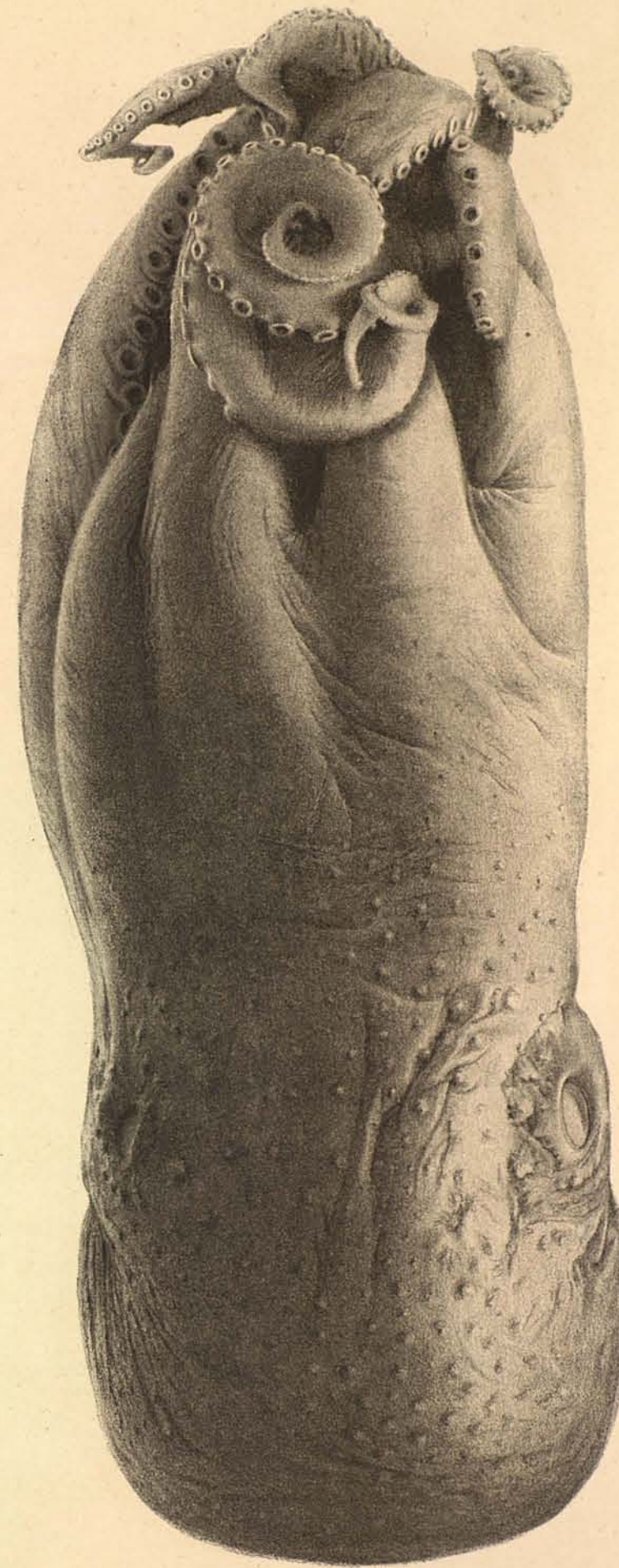
	Page
Fig. 1 à 3. GRANELEDONE VERRUCOSA (Verrill).....	10
Fig. 1. Reproduction d'une photographie, légèrement réduite, de la face ventrale de l'animal.	
Fig. 2. Idem. Profil.	
Fig. 3. Idem. Face dorsale.	



1



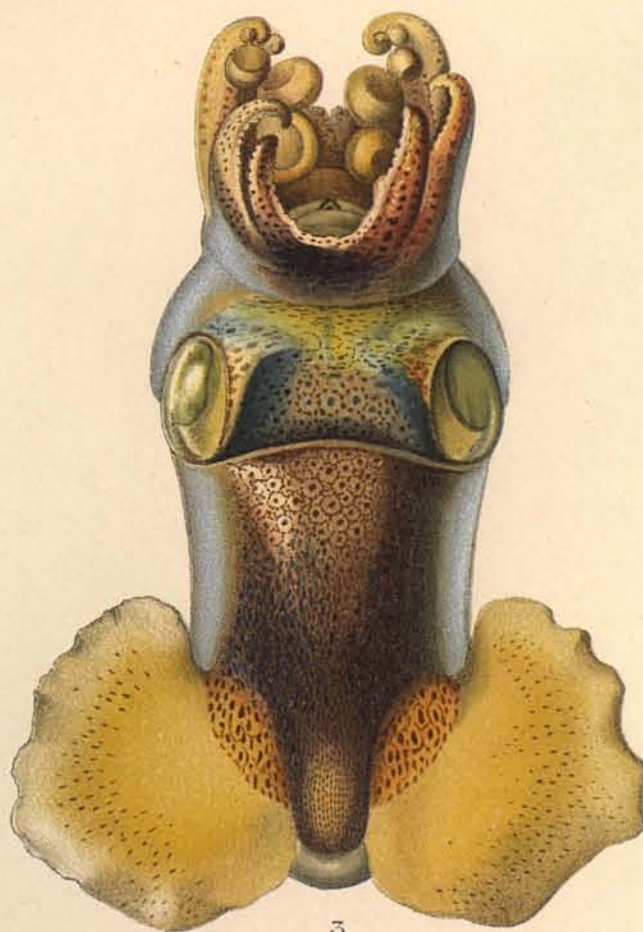
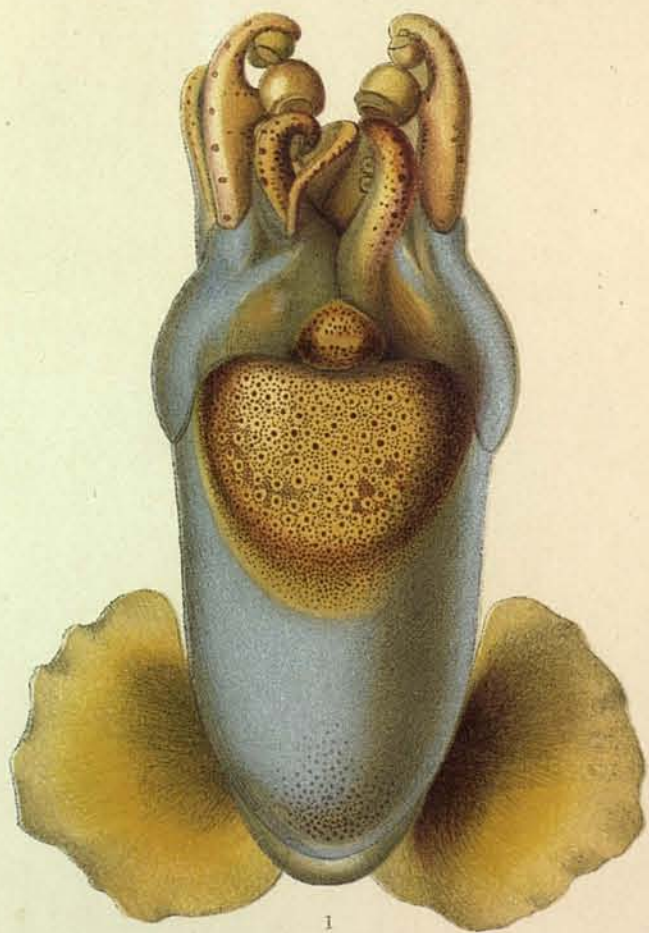
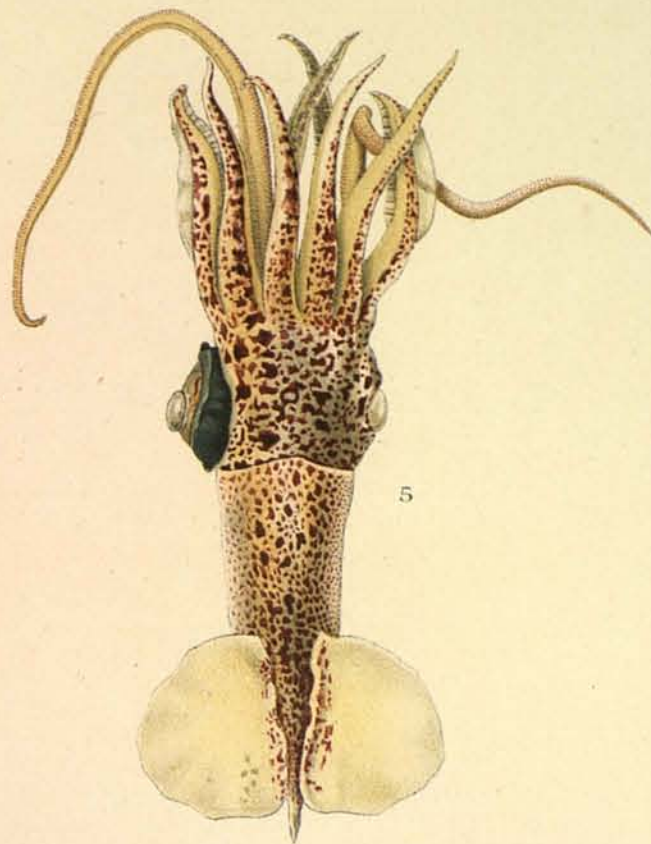
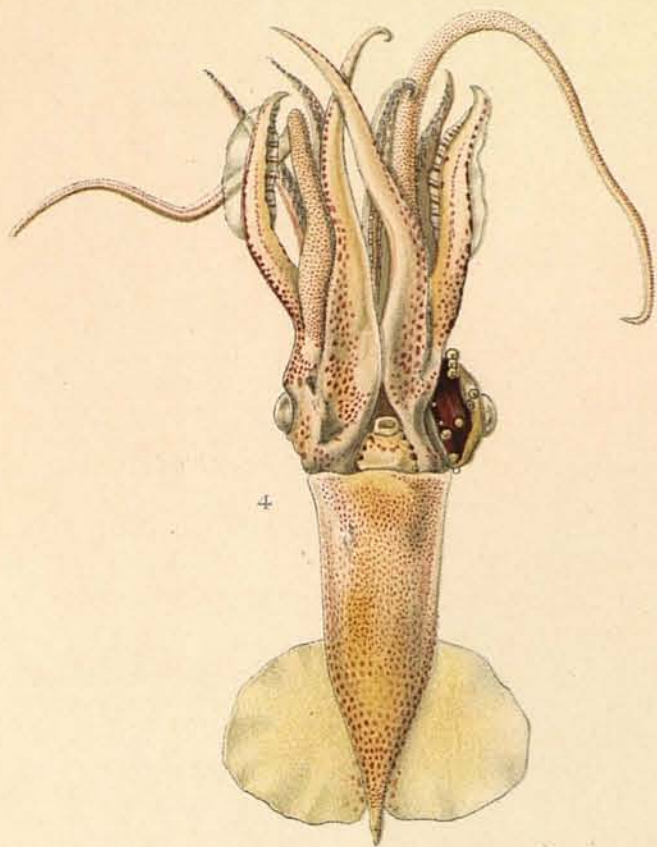
2



3

LÉGENDE DE LA PLANCHE X

	Pages
Fig. 1 à 3. HETEROTEUTHIS DISPAR (Rüppell) Gray.....	47
Fig. 1. L'animal vu par la face ventrale, d'après une aquarelle de M ^{lle} de la Roche. Gross. 6 fois environ.	
Fig. 2. Id. vu de profil.	
Fig. 3. Id. vu de la face dorsale.	
— 4 et 5. PYROTEUTHIS MAGARITIFERA (Rüppell) var. AURANTIACA Joubin...	52
Fig. 4. L'animal vu par la face ventrale, d'après une aquarelle de M. Chivot. Légèrement grossi.	
Fig. 5. Id. vu par la face dorsale.	



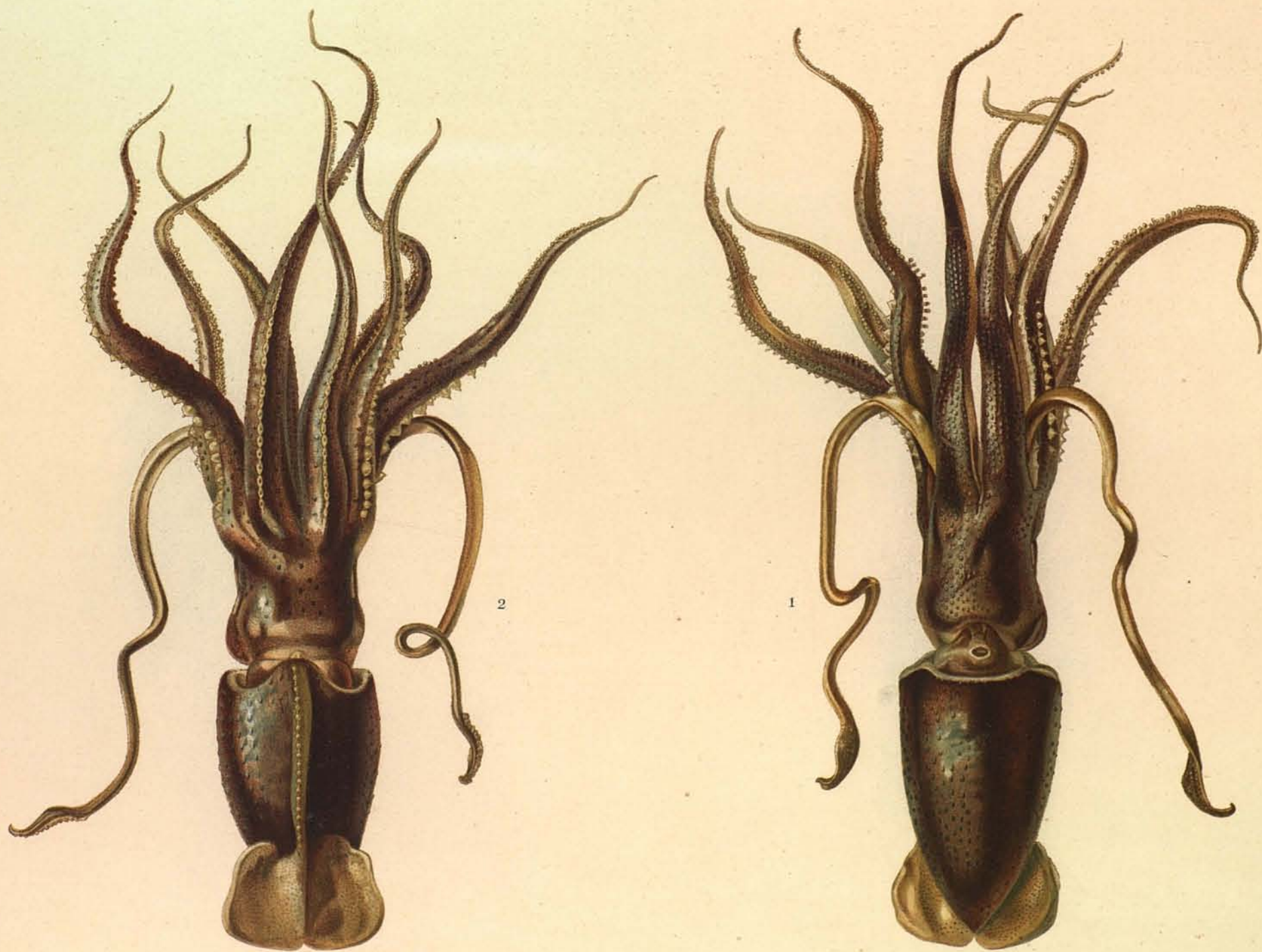
M^r Chivot et M^{lle} de la Roche, pinx.

Imp. Champenois Paris.

1 A 3. HETEROTEUTHIS DISPAR (RÜPPELL) GRAY
4-5. PYROTEUTHIS MARGARITIFERA (RÜPPELL)

LÉGENDE DE PLANCHE XI

Fig. 1 et 2.	MELEAGROTEUTHIS HOYLEI Pfeffer.....	Page 63
	Aquarelles exécutées par M ^{lle} Vesque, d'après un exemplaire conservé dans l'eau de mer formolée. Figures légèrement réduites.	
	Fig. 1. Face dorsale.	
	Fig. 2. Face ventrale.	



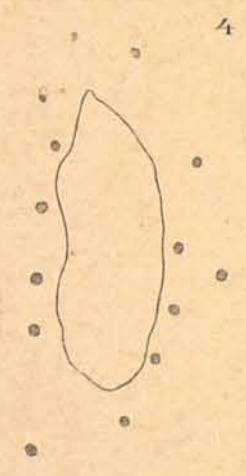
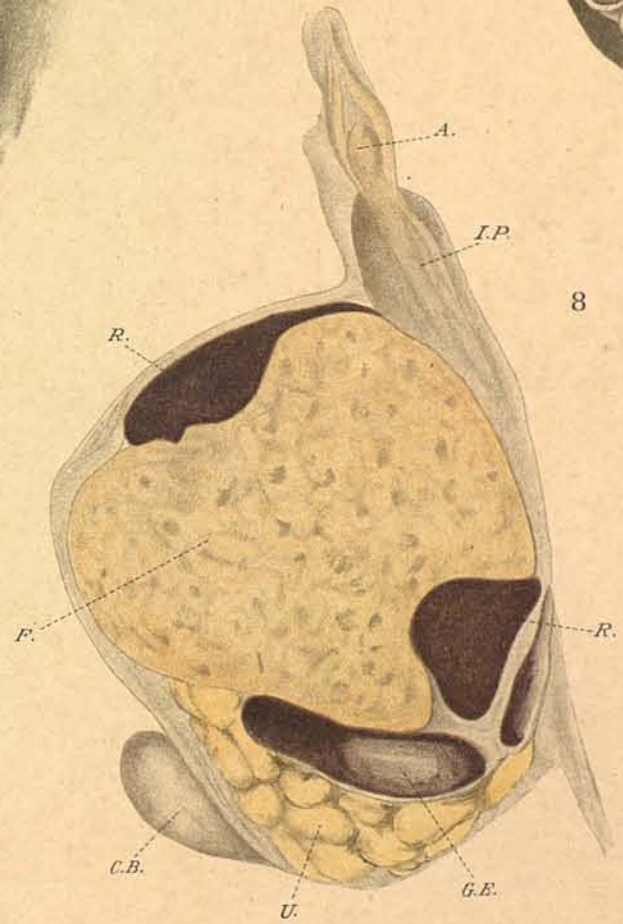
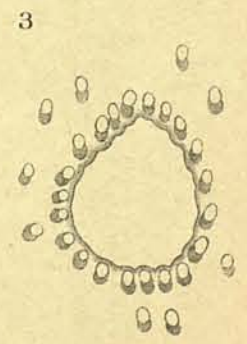
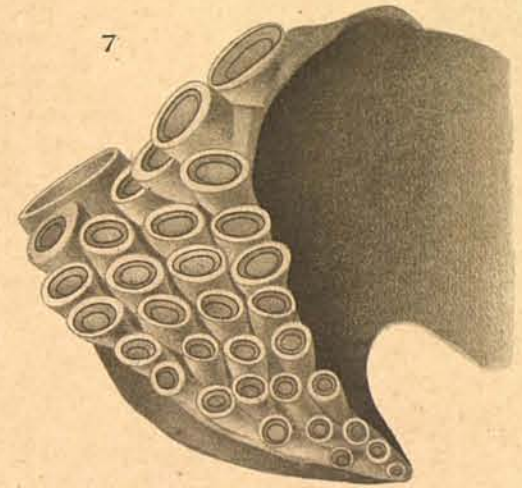
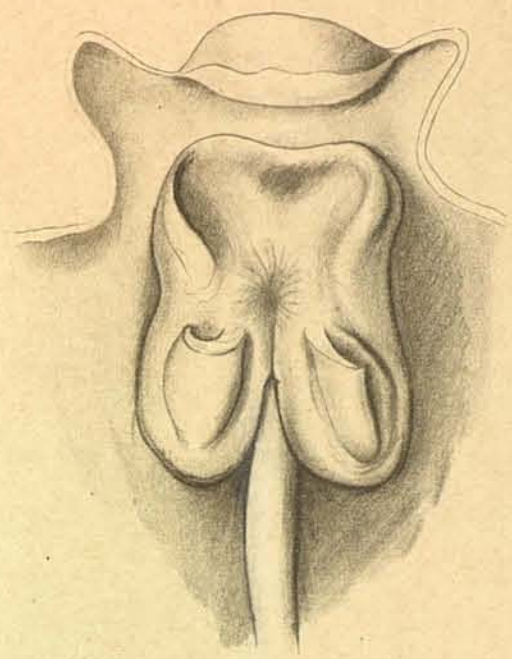
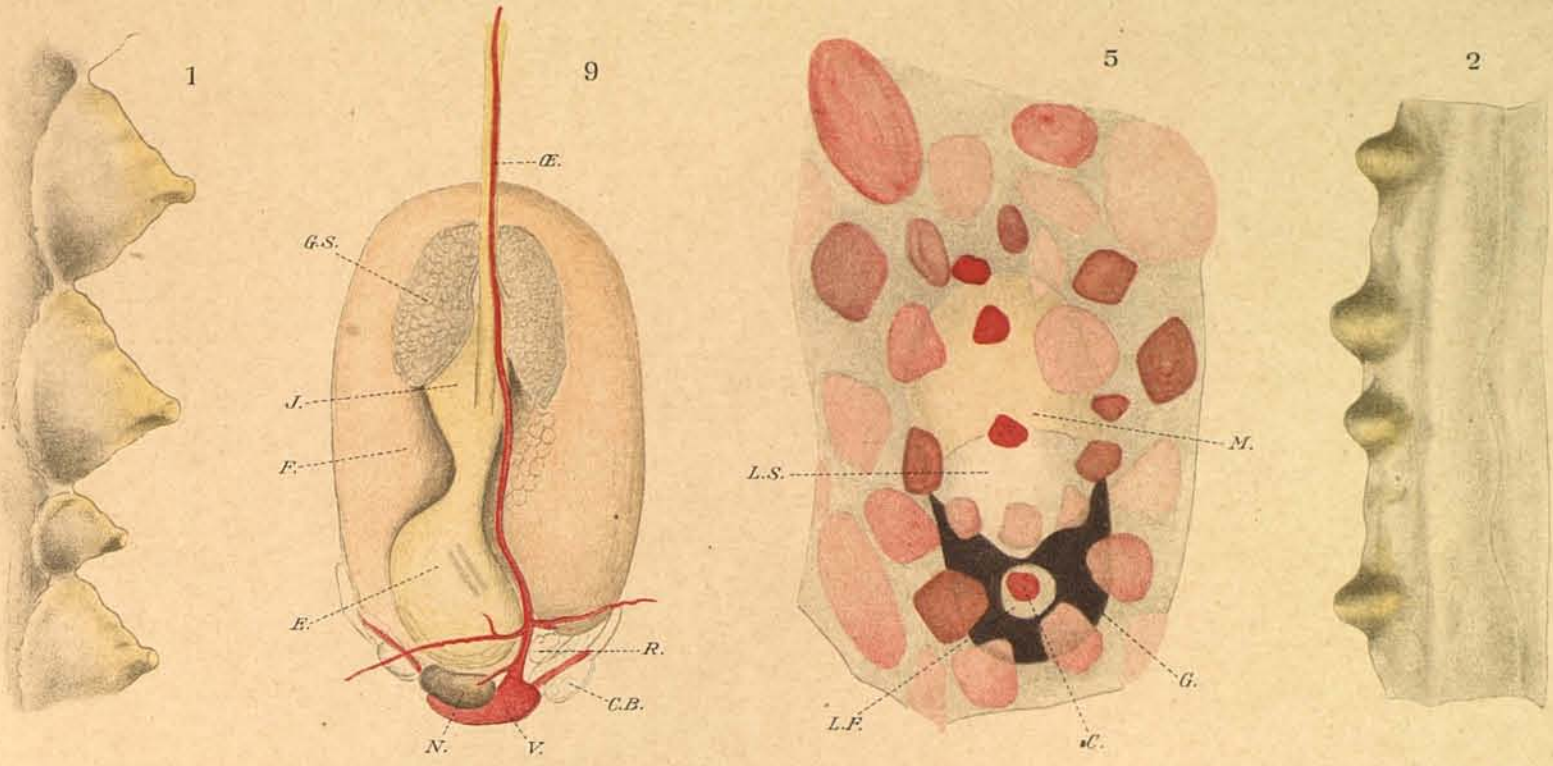
M^{elles} Vesque. pinx.

Imp. Champenois. Paris.

MELEAGROTEUTHIS HOYLEI PFEFFER

LÉGENDE DE LA PLANCHE XII

		Pages
Fig. 1 à 5.	MELEAGROTEUTHIS HOYLEI Pfeffer	63
	Fig. 1. Dents cartilagineuses de l'arête du troisième bras. Gross. 13.	
	Fig. 2. Fragment de la crête du milieu de la peau dorsale palléale. Gross. 13.	
	Fig. 3. Asymétrie des yeux. L'œil droit plus petit que le gauche, entouré d'un cercle complet d'organes lumineux enchâssés dans le bord de la paupière. Gross. 3.	
	Fig. 4. Asymétrie des yeux. L'œil gauche plus grand que le droit, entouré d'organes lumineux atrophiés, irrégulièrement disséminés loin du bord palpébral. Gross. 3.	
	Fig. 5. Fragment de la peau ventrale du sac palléal montrant un organe photogène complet avec sa grande lentille supérieure et la petite lentille frontale. <i>M</i> , miroir; <i>L. S</i> , lentille supérieure; <i>L. F</i> , lentille frontale; <i>G</i> , gaine pigmentée; <i>C</i> , chromatophore de la lentille frontale. Gross. 25.	
— 6 à 8.	MEGALOGRANCHIA ABYSSICOLA (Goodrich)	96
	Fig. 6. L'organe du siphon vu par la face ventrale. Gross. 8.	
	Fig. 7. Extrémité du tentacule montrant la terminaison des ventouses. Gross. 25.	
	Fig. 8. Coupe médiane du complexe viscéral passant par le plan sagittal entre les quatre organes lumineux. <i>A</i> , anus; <i>C. B</i> , cœur branchial à l'arrière plan; <i>I. P</i> , rectum; <i>R</i> , réservoir du noir; <i>U</i> , rein. Gross. 10.	
— 9.	BOLITÆNA DIAPHANA (Hoyle)	42
	Fig. 9. Complexe viscéral vu de dos après soulèvement de la membrane dorée. <i>Æ</i> , œsophage; <i>G. s</i> , glande salivaire abdominale; <i>J</i> , jabot; <i>E</i> , estomac; <i>F</i> , foie; <i>R</i> , rein; <i>C. B</i> , cœur branchial; <i>N</i> , gonade; <i>V</i> , ventricule. Gross. 14.	



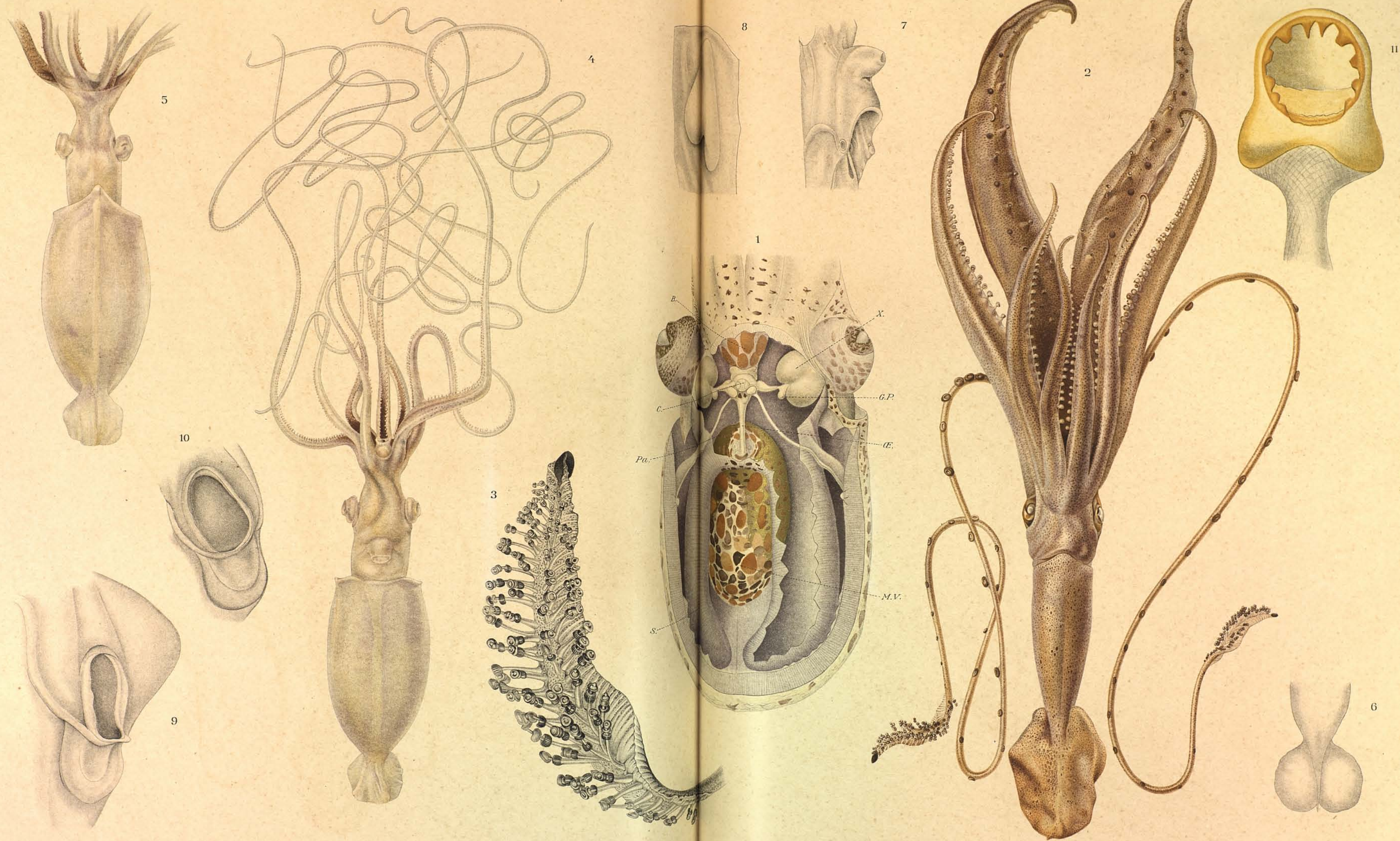
L. Joubin del.

Firenze, Lit. A. Ruffoni

1-5 MELEAGROTEUTHIS HOYLEI, 6-8 MEGALOCRANCHIA ABYSSICOLA
9 BOLITÆNA DIAPHANA

LÉGENDE DE LA PLANCHE XIII

		Pages
Fig. 1.	BOLITÆNA DIAPHANA (Hoyle)	42
	Fig. 1. L'animal ouvert par le dos pour montrer la disposition générale des viscères. En haut le bulbe buccal <i>B</i> , enveloppé de chromatophores; <i>C</i> , cerveau; <i>Æ</i> , œsophage, <i>P. a.</i> , nerf palléal; <i>G. P.</i> , ganglion pédonculaire; <i>S</i> , sinus; <i>M. V.</i> , masse viscérale dorée; <i>X</i> , ganglion optique. Gross. 8.	
— 2 et 3.	CHIROTEUTHIS LACERTOSA Verrill	86
	Fig. 2. L'animal de grandeur naturelle vu par la face dorsale. Aquarelle d'après nature de M ^{lle} Vesque.	
	Fig. 3. La palette tentaculaire grossie 4 fois environ, montrant le détail des ventouses et des membranes.	
— 4 à 11.	CHIROTEUTHIS PORTIERI Joubin	80
	Fig. 4. L'animal, de grandeur naturelle, vu par la face ventrale. Aquarelle de M ^{lle} Vesque, d'après nature.	
	Fig. 5. La face dorsale du corps du même animal.	
	Fig. 6. Extrémité caudale vue par la face ventrale.	
	Fig. 7. Vue latérale du siphon montrant sa courbure, l'orifice cloacal, les fossettes adhésives. Gross. 2.	
	Fig. 8. Bouton adhésif palléal sur le bord interne du manteau. Gross. 13.	
	Fig. 9. Boutonnière adhésive palléale gauche sur le pilier du siphon. Gross. 13.	
	Fig. 10. Boutonnière adhésive palléale droite sur le pilier du siphon. Gross. 13.	
	Fig. 11. Une ventouse brachiale, vue par son ouverture. Gross. 75 environ.	



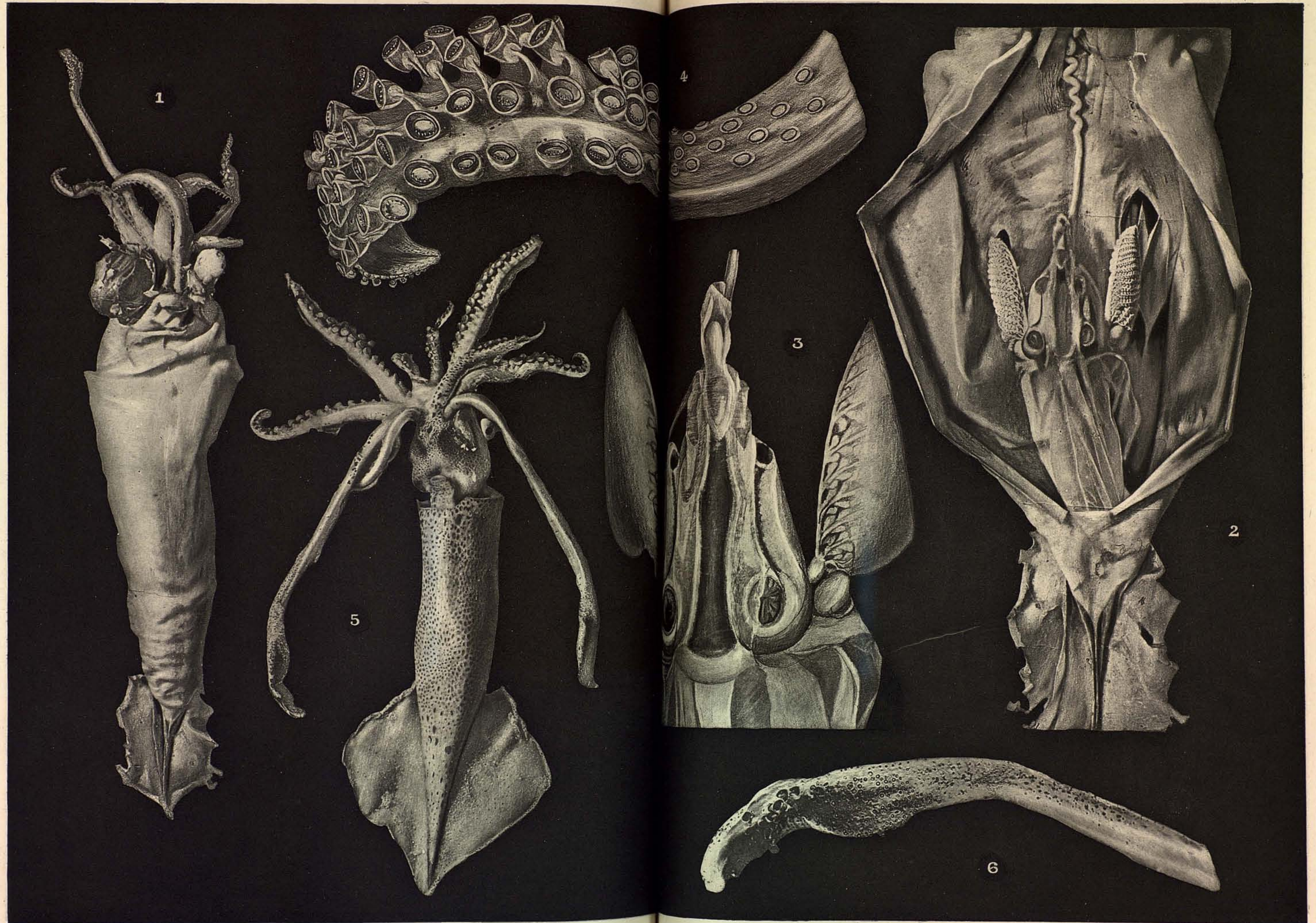
M^{lle} Vesque et L. Joubin del.

1 BOLITÆNA DIAPHANA, 2-3 CHIROTEUTHIS SACERTOSA, 4-11 CHIROTEUTHIS PORTIERI

Firenze. Lit. A. Ruffoni. Piazza S. Croce 20

LÉGENDE DE LA PLANCHE XIV

	Pages
Fig. 1 à 4. MEGALOCRANCHIA ABYSSICOLA Goodrich.....	96
Fig. 1. Aspect de l'animal vu par la face ventrale. Gross. 2,3.	
Fig. 2. Ensemble du complexe viscéral dans la cavité palléale ouverte. On voit au centre les 4 organes lumineux entre les branchies; au-dessus le rectum et l'anous, puis la grande veine sinueuse; derrière les branchies les deux orifices de la cavité palléale respiratoire. Gross. 5.	
Fig. 3. Détails des organes photogènes. <i>A</i> , anus; <i>B</i> , branchie; <i>I</i> , organes inférieurs; <i>S</i> , organes supérieurs; <i>R</i> , rectum. Gross. 7.	
Fig. 4. Palette tentaculaire vue de profil. Gross. 12.	
— 5 et 6. BRACHIOTEUTHIS BEANI.....	
Fig. 5. Vue ventrale de l'échantillon photographié après conservation dans l'eau formolée. Gross. 2,3.	
Fig. 6. Palette tentaculaire. Gross. 6.	



Cassas et Boudarel, phot. et del.

Heliog. Schutzenberger, Paris

1-4 MEGALOCRANCHIA ABYSSINICA 5-6 BRACHIOTEUTHIS BEANI